

## روش سریع با کارایی بالا برای تراریخته نمودن گیاه یونجه به منظور تظاهر ژن *BANYULS* (BAN)

سید محسن حسامزاده حجازی<sup>۱</sup>، سیروس عبد میثانی<sup>۲</sup> و Sergio Arcioni<sup>۳</sup>

### چکیده

پروآنتوسیانیدین‌ها (Condensed Tannins:CTs)، الیگومرهای فلاونوئیدی می باشند که تعدادی از آنها اثرات مفیدی روی سلامت حیوان و انسان دارند. توانایی پروآنتوسیانیدین‌ها در تشکیل کمپلکس با پروتئین‌ها سبب شده که تأثیر زیادی بر ارگانیزم های تجزیه کننده پروتئین و در نهایت کاهش خطر نفخ در حیوانات داشته باشند. آنتوسیانین‌ها نیز فلاونوئیدهایی هستند که در ایجاد رنگ قرمز، بنفش یا آبی در بذرها و گل‌ها شرکت دارند. ژن BAN حاصل از گیاه *Arabidopsis thaliana* رمزگردان آنتوسیانیدین‌ردوکتاز (ANR) می باشد. این آنزیم آنتوسیانیدین‌ها را به (+)-catechin (2,3-cis-flavan-3-ols) که به عنوان واحد شروع کننده در تشکیل CT شناخته می‌شوند تبدیل می‌کند. انتقال این ژن به گیاه یونجه، به منظور القاء تولید CT در شاخ و برگ آن جهت استفاده بهینه از پروتئین‌های گیاه و کاهش خطر نفخ در حیوانات انجام شد. عمل تراریزش ریز نمونه‌های برگ‌ی حاصل از دو لاین یونجه چند ساله با نام‌های Rgsy27 و P1 که در حالت عادی دارای مقادیر ناچیز CT در شاخ و برگ می باشند توسط دو نژاد مختلف باکتری (*EHA 105* , *LBA 4404*) *Agrobacterium tumefaciens* حامل پلاسمید BAN. pBI121 (ناقل دوتایی شامل ژن BAN) صورت گرفت. از ریز نمونه‌های برگ‌ی حاصل از لاین Rgsy27 بیش از ۹۰ درصد تولید کالوس‌های پیش جنین‌زا و از ریز نمونه‌های برگ‌ی حاصل از لاین P1 حدود ۳۰ درصد تولید کالوس‌های پیش جنین‌زا تولید شد. در هر دو لاین بیش از ۶۵ درصد جنین‌های باززایی شده در مدت ۲ ماه به گیاه کامل تبدیل شدند. کارایی تراریزش لاین‌های Rgsy 27 و P1 بستگی به نوع نژادهای *Agrobacterium tumefaciens* مورد استفاده داشت، به نحوی که لاین‌های تراریخته توسط ژن BAN با نژاد آگروباکتریوم LBA 4404 بهترین واکنش را نسبت به تولید گیاهان تراریخته نسبت به نژاد EHA 105 نشان دادند. تظاهر

۱- مؤسسه تحقیقات جنگلها و مراتع @rifr-ac.ir/hessamzadeh

۲- دانشگاه تهران

۳- مؤسسه تحقیقات ژنتیک و بیوتکنولوژی گیاهان علوفه‌ای - ایتالیا

اکتوپیک ژن *BAN* در شاخ و برگ گیاه یونجه تراریخته باعث القاء تجمع *CT* شد که به راحتی از طریق بررسی شیمی بافتی قابل تشخیص بود. عدم فعالیت ژن *BAN* باعث افزایش مقدار رنگدانه قرمز شد. بنابراین این ژن به عنوان تنظیم کننده منفی در تولید رنگدانه‌ها می‌باشد. درصد *CT* در ماده خشک گیاهان تراریخته لاین های *Rgsy27* و *P1* به ترتیب ۰/۴۷۴ و ۰/۶۰۰ در مقایسه با ۰/۲۵۹ و ۰/۴۰۸ در گیاهان کنترل بود.

**واژه‌های کلیدی:** آگروباکتریوم تومفسینس، آرابیدوپسیس تالیانا، باززایی، تراریزش، پروآنتوسیانیدین، ژن *BAN* و یونجه

### مقدمه

اهمیت گیاهان علوفه‌ای همزمان به دوران اهلی کردن حیوانات وحشی بر می‌گردد. بشر هر چه بیشتر به فراورده‌های دامی احتیاج پیدا می‌کرد اهمیت نباتات علوفه‌ای بارزتر می‌شد، تا آنجاکه امروزه زراعت گیاهان علوفه‌ای از جمله یونجه یکی از اساسی‌ترین زراعت‌ها را تشکیل می‌دهد. در میان نباتات علوفه‌ای، یونجه به دلیل کیفیت خوب و خوشخوراکی و دارا بودن ذخائر غذایی از جمله مواد معدنی مختلف مانند کلسیم، مواد پروتئینی و حتی انواع ویتامین‌های گوناگون به ویژه ویتامین‌های *A* و *C* و تأثیر مهم آن در اصلاح زمین‌های زراعی اهمیت خاصی پیدا کرده است. یونجه را می‌توان به عنوان علوفه سبز برای تغذیه حیوانات بکار برد اما گاوهای شیری و گوشتی را نباید تنها با علوفه سبز یونجه تغذیه نمود زیرا سیری، با مصرف بیش از حد پروتئین همراه بوده و باعث نفخ و در نهایت موجب مرگ ناگهانی حیوان می‌شود. میانگین کاهش و ضرر ناشی از نفخ، سالیانه در استرالیا بیش از ۱۸۰ میلیون دلار و در آمریکا بیش از ۳۱۰ میلیون دلار تخمین زده شده است (Tanner, ۱۹۹۷ و Rumbaugh, ۱۹۸۵). عوامل ایجاد نفخ، می‌تواند گیاه، حیوان، عامل‌های محیطی و میکروبی باشد. عامل‌های گیاهی مرتبط با ایجاد نفخ می‌تواند پکتین‌ها، ساپونین‌ها، پروتئین‌های قابل حل در آب، لیپیدها، لیپوپروتئین‌ها، پلی‌ساکاریده‌ها، آنزیم‌ها، فنولها و ساختمان دیواره سلولی

باشد. اما تا کنون فقط حضور پروآنتوسیانیدین‌ها یا CTها (گروهی از فلاونوئیدها)، استحکام دیواره سلولی و میزان تجزیه پروتئینی را در ارتباط با عا امل ایجاد نفخ مؤثر دانسته‌اند (Bovy و همکاران، ۲۰۰۲). فلاونوئیدها نقش کلیدی در سیگنال دهی میان گیاهان و میکروبیها، تولید و رشد دانه‌های گرده فعال تعدادی از گونه‌ها، خواص ضد میکروبی، بازدارنده تغذیه‌ای و حفاظت از نور ماوراء بنفش را به عهده دارند (Winkel-Shirley، ۲۰۰۱). جهت رفع مشکل نفخ در حیوانات بر اثر خوردن علوفه تازه یونجه ضروری است که از طریق مهندسی ژنتیک، کیفیت گیاه یونجه از نظر صفت نفخ‌زایی بهبود یابد. از آنجایی که نخست تلاش در جهت انتقال ژن کنترل کننده بیوسنتز پروآنتوسیانیدین با روش ایجاد دورگ غیر جنسی میان اسپرس و یونجه به دلیل غالب بودن DNA یونجه، نسبت به اسپرس در گیاهان هیبرید و ناپایدار بودن مقادیر ناچیز تانن القاء شده در برگ برخی از گیاهان باززایی شده و همچنین همبستگی منفی میان مقدار تانن و سن (Koornneef و همکاران، ۱۹۸۲a؛ Tanner، ۱۹۹۷، Li، ۱۹۸۵) فاقد نتیجه مطلوب بوده است، دوم اینکه دورگ غیر جنسی میان برگ یونجه و کشت سوسپانسیون *Lotus pedunculatus* نیز به دلیل کم بودن تعداد گیاهان باززایی شده و مقادیر ناچیز و ناپایدار تانن، نیز از نتیجه مطلوبی برخوردار نبوده است، سوم اینکه گرچه جهش‌های طبیعی و یا القاء شده، جهت تظاهر CTها و آنتوسیانین‌ها در گیاهان مختلف و گونه‌های علفی شامل سورگوم، جو، نخود، آرابیدوپسیس، برنج و *L. japonicus* اثرات قابل توجهی داشته‌اند (Koornneef و همکاران، ۱۹۸۲b؛ Jende-Strid، ۱۹۹۳، Szymanski و همکاران، ۱۹۹۸)، ولی تا بحال هیچ جهشی که مؤثر بر القاء تظاهر CTها در برگ گیاه یونجه یا گونه‌های وابسته باشد، یافت نشده است و با وجود تنوع سوماکلنی از نظر میزان فلاوان ۳-ال در جوانه‌های برگی یونجه، جداسازی تانن از آنها صورت نگرفته است و این خصیصه نیز در گیاه یونجه پایدار نبوده است (Scalbert، ۱۹۹۱). بنابراین استفاده

از روش بسیار دقیق، در بکارگیری تکنولوژی DNA نو ترکیب، جهت تولید گیاهان حاوی پروآنتوسیانیدین نیاز می‌باشد.

پروآنتوسیانیدین‌ها ترکیبهای فرلی با وزن مولکولی بالا هستند که با نام "Condensed Tannins" نیز شناخته می‌شوند، در واقع آنها تولیدات ثانویه پلی فنولیک گیاهی بوده که با پروتئین‌ها پیوند یافته و قابلیت هضم پروتئین را کاهش می‌دهند. بنابراین به‌عنوان ترکیبهای ضد تغذیه‌ای در نظر گرفته می‌شوند. غلظتهای نسبتاً کم از پروآنتوسیانیدین‌ها کافی است تا ایمنی از نفخ<sup>۱</sup> را در گیاهان علوفه‌ای القاء نماید. در تجزیه و تحلیل‌های صورت گرفته، آستانه بحرانی غلظت پروآنتوسیانیدین‌ها بویا پیشگیری از نفخ حدود نیم درصد وزن خشک علوفه تخمین زده شده است (Li و همکاران، ۱۹۹۶). به دلیل توانایی پروآنتوسیانیدین‌ها برای تشکیل کمپلکس با پروتئین‌ها، آنها می‌توانند تأثیر چشم‌گیری بر ارگانسیم‌ها داشته باشند ایجاد نفخ در حیوانات پس از مصرف علوفه تازه بعضی از گیاهان مانند بونجه که هم‌اکنون به‌وسیله مواد شیمیایی کنترل می‌شود دارای اثرات سوء بر تولیدات حیوانی می‌باشد. تحقیقات انجام شده و در حال انجام بر پروآنتوسیانیدین‌ها یا (CTs) در اصل از نظر نحوه تولید و القاء، در گیاه و نقش آنها در بهبود کیفیت علوفه می‌باشد (Rob و همکاران، ۲۰۰۰). تقریباً تمام آنزیم‌های شرکت‌کننده کلیدی در مسیر بیوستتز طبقات مختلف فلاونوئید، تعیین شده و تعداد زیادی از ژنهای مربوطه در گیاه ذرت و گل میمون و گل اطلسی و گیاه آراییدوپسیس شناخته و کلون شده‌اند (Holton و همکاران، ۱۹۹۵). همچنین ژنهای تنظیم‌کننده‌ای که تظاهر ژنهای ساختمانی را در مسیر بیوستتز آنتوسیانین‌ها و پروآنتوسیانیدین‌ها در تعدادی از گیاهان کنترل می‌کنند، شناسایی شده‌اند. این ژنها در شدت و خصوصیات بیوستتز آنتوسیانین‌ها و پرو آنتوسیانیدین‌ها و به‌طور کلی تظاهر تعدادی از ژنهای ساختمانی

تأثیر می‌گذارند. این تأثیر از طریق فعالیت ژنهای ساختمانی با سنجش آنزیمی یا سنجش mRNA، قابل بررسی و اکتید می‌باشد. بسیاری از ژنهای تنظیم کننده موجود در گیاهان ذرت، گل میمون و گل اطلسی و آرابیدوپسیس شناسایی شده‌اند (Winkel-Shirley، ۲۰۰۱؛ Dellaporta و همکاران، ۱۹۸۸؛ Tonelli و همکاران، ۱۹۹۱؛ Ludwig و همکاران، ۱۹۸۹؛ Goodrich، «شکندفتق» ۱۹۹۲ و Quattrocchio و همکاران، ۱۹۹۳). بنابراین بیوسنتز آنتوسیانینها و پروآنتوسیانیدینها نیازمند عمل تعداد زیادی ژن بوده و با عوامل محیطی از قبیل نور، دما، مواخذهایی و استرسها تحت تأثیر قرار می‌گیرند. ژن کلون شده BAN رمزگردان آنزیمی (پروتئینی) شبیه به DFR<sup>۱</sup> است که این آنزیم باعث تولید لئوکوآنتوسیانیدین<sup>۲</sup> می‌شود که برای تولید آنتوسیانینها و CTها پیش نیاز می‌باشد. بنابراین فرض می‌شود که ژن BAN یک لئوکوآنتوسیانیدین ردوکتاز (LAR) است که به‌عنوان عامل شروع کننده در سنتز CT در گیاهان شناخته می‌شود. در واقع ژن BAN نقطه انشعاب آنزیمی است که مقادیر نسبی ه خانواده فلاونوئید (آنتوسیانینها و CTها) را تنظیم می‌کند. این ژن در نقطه میان تولید آنتوسیانین و پروآنتوسیانیدین دارای عمل مؤثر و به احتمال زیاد رمزگردانی آنزیم LAR یا تنظیم‌کنندگی فعالیت LAR را بعهده دارد (شکل شماره ۱). در غیاب فعالیت آنزیم LAR، مسیر بیوسنتز آنتوسیانین ها، بیشتر از سنتز کتکین ها و پروآنتوسیانیدینها (CTs) فعال می‌باشد (Gruber و Ray، ۲۰۰۲).

ژن BAN به‌عنوان نشانگری از توسعه و نمو اولیه پوشش بذری محسوب شده و جهش در ژن BAN باعث تجمع زودرس آنتوسیانین ها در پوشش بذری نابالغ در گیاه آرابیدوپسیس شده است (Gruber و Ray، ۲۰۰۲). در گیاه آرابیدوپسیس، انجام جهش در ژن BAN باعث شفاف شدن پوسته خارجی بذراً شده که به موجب آن تجمع زودرس

- 
- 1- Dihydroflavonol 4-reductase
  - 2- Leucoanthocyanidin (flavan -3,4- diols)
  - 3- Leucoanthocyanidin reductase (LAR)
  - 4- Transparent testa (tt)

آنتوسیانین قرمز و کاهش CT در پوشش بذری آن صورت می‌گیرد. بر پایه این موضوع و تشابه توالی اسید آمینه‌های ژن *BAN* با *DFR*، می‌توان نتیجه گرفت که ژن *BAN* رمزگردان آنزیم *LAR* می‌باشد. آنزیم *LAR* یک مونومر ۴۳ کیلودالتونی با ۳۸۲ اسید آمینه می‌باشد که سنتز کتکین را از لئوکوسیانیدین کاتالیز می‌کند و شامل اولین مرحله‌ای است که تنها در مسیر بیوسنتز فلاونوئیدها باعث ایجاد CT می‌شود. آنزیم *LAR* بطور طبیعی فقط در بافتهای شامل تانن تظاهر می‌یابد. ژن *LAR* در برگهای بونجه دیده نشده و فقط در طی نمو اولیه بذر قابل شناسایی می‌باشد. تحقیقات بیشتر نشان داده که ژن *BAN* رمزگردان آنتوسیانیدین ردکتاز (*ANR*) است که باعث تبدیل آنتوسیانیدین‌هایی مانند دلفینیدین، پلارگونیدین و سیانیدین به ترتیب به (-)-*epigallocatechin epiafzelechin*، *epicatechin*، *2R,3R-flavan-3-ols* می‌باشد (Joseph و همکاران، ۱۹۹۸ و Sylvie و همکاران، ۱۹۹۷). بنابراین عدم فعالیت ژن *LAR* می‌تواند یکی از موانع اصلی برای تجمع CTها در برگهای بونجه بشمار آید.

## مواد و روشها

الف- کلیات: بذرهای گیاهان *M. sativa* var. *adriana* و *M. sativa* var. *Rgsy 27* (P1) در گلدانهای محتوی ماسه- خاک برگ به نسبت (۱:۲) در گلخانه‌ای با ۶۰ درصد رطوبت نسبی و دوره نوری ۱۶ ساعته در دمای ۲۵ درجه سانتیگراد در روز و ۱۵ درجه سانتیگراد در شب و دوره آبیاری متناوب کشت شدند. برای انجام آزمایشهای کشت بافت و عمل تراریزش از برگهای نسبتاً جوان و سالم متعلق به گیاهان ۴ تا ۶ هفته‌ای استفاده شد. پس از ضدعفونی سطحی با هیپوکلریت سدیم ۲۰ درصد به مدت ۷ دقیقه و اتانول ۷۰ درصد به مدت ۵ تا ۱۰ ثانیه و در نهایت ۳ بار شستشو با آب مقطر

استریل، برگها به قطعات مربع شکل کوچک (۵×۵ میلیمتر مربع) تقسیم شده و در ۵۰ میلی لیتر محیط کشت مایع  $M_1$  حاوی نژادهای آگروباکتریوم، قرار گرفتند. قطعات برگگی موجود در محیط کشت آلوده به آگروباکتریوم به مدت ۲۰ دقیقه در محیط خلاء با فشار ۶۵۰ Psi و بعد جهت نفوذ آگروباکتریومها، در دمای ۲۵ درجه سانتی گراد به مدت ۳ تا ۳ ساعت قرار گرفته. بعد از خشک کردن قطعات برگگی در شرایط سترون و خارج نمودن محلول باکتریایی، نسبت به انتقال قطعات برگگی به محیط کشت جامد  $M_2$  بدون آنتی بیوتیک و محتوی استوسیرینگون (۹/۸ میلی گرم بر لیتر) اقدام شد و به مدت ۳ روز در تاریکی در دمای ۲۴ درجه سانتی گراد قرار گرفتند. جهت ایجاد و القاء کالوس پیش جنینزا، بعد از شستشوی قطعات برگگی با آب مقطر سترون و خشک نمودن آنها، به محیط کشت جامد  $M_3$  که شامل آنتی بیوتیک کانامایسین (۵۰ میلی گرم در لیتر) و آگمتین (۸۰۰ میلی گرم در لیتر) بود، انتقال یافتند. سپس در تاریکی در دمای ۲۴ درجه سانتی گراد به مدت یک ماه نگهداری شدند و هر دو هفته یک بار محیط کشت تعویض شد. جهت جنینزایی، کالوسهای ایجاد شده به محیط کشت جامد  $M_4$  که فقط شامل ۵۰ میلی گرم بر لیتر آنتی بیوتیک کانامایسین و فاقد هر گونه هورمون بود انتقال داده شدند و در شرایط ۱۲ ساعت نور با میزان روشنایی  $130 \mu E/m^2/s$  نگهداری شدند. بعد از ایجاد گیاهچه، جهت ریشهزایی به محیط کشت بدون هورمون  $M_4$  انتقال یافتند. پس از ۲ تا ۴ هفته، گیاهان تراریخته بدست آمده به گلخانه ای با شرایط ویژه انتقال داده شدند به نحوی که گیاهان در روزهای اول در شرایط کاملا مرطوب قرار گرفتند و بعد شرایط رشدی تغییر یافته و به صورت طبیعی در آمد.

ب- محیطهای کشت مورد استفاده: برای استقرار قطعات برگگی تراریخته شده، ایجاد کالوس، القاء جنینزایی و تولید گیاهچه و گیاه کامل از محیط های کشت  $M_1$ ،  $M_2$ ،

$M_3$ ،  $M_4$  که ترکیبی از ۴ محلول متفاوت و مناسب جهت گیاه یونجه بود اس‌تفاده شد (Hesamzadeh و همکاران، ۲۰۰۴).

ج- نژادهای *Agrobacterium tumefaciens* و پلاسمید ها: در این تحقیق جهت تولید گیاهان تراریخته از دو نژاد *A. tumefaciens* استفاده شد. هرچند نژاد LBA 4404 برای تراریزش گیاه توتون بسیار مؤثر بوده است ولی این نژاد برای تراریزش تمام گونه‌های یونجه مؤثر نبوده است (Kamate و همکاران، ۲۰۰۰؛ Hellens و همکاران، ۲۰۰۰ و Trieu و همکاران، ۲۰۰۰). در این مقاله علاوه بر نژاد LBA 4404، از نژاد EHA105 نیز استفاده شد. پلاسمید pBI121.1 با اندازه ۱۴/۷۵۸ کیلو جفت باز که به‌عنوان ناقل دوتایی در این تحقیق مورد استفاده قرار گرفت از ترکیب ناقل دوتایی pBIN19 با اندازه ۱۱/۷۷۷ کیلو جفت باز و کاست GUS حاصل شد. T-DNA این ناقل دوتایی حامل ژن *nptII*<sup>۱</sup> (نشانگر انتخابی که باعث ایجاد مقاومت سلول های گیاهی تراریزش شده به آنتی‌بیوتیک کانامایسین می‌شود) و ژن *uidA* از *E. coli*، که رمزگردان ژن *gus* است بود. ژن‌های *nptII* و *uidA* تحت کنترل راه‌انداز CaMV 35S بودند. پلاسمید pRK2013 با اندازه ۴/۸ کیلو جفت باز به‌عنوان پلاسمید کمکی (Helper) مورد استفاده قرار گرفت. پلاسمید pBI121.BAN با اندازه ۱۴/۰۸۱ کیلو جفت باز که با جایگزینی ژن *BAN* (موجود در بانک ژن مؤسسه تحقیقات ژنتیک گیاهان علوفه ای- ایتالیا) به جای ژن *gus* با برش پلاسمید pBI121.1 به‌وسیله آنزیم‌های *BamHI* و *SacI* و حذف ژن *gus* ایجاد شد. ژن *BAN* تحت کنترل راه‌انداز CaMV 35S و خاتمه‌دهنده NOS<sup>۲</sup> قرار گرفت. این پلاسمیدها به‌وسیله تکنی ک آمیزش سه والدینی<sup>۳</sup> (Walker، Peach و Velten، ۱۹۹۴) به نژادهای آگروباکتریومی EHA 105 و LBA 4404 انتقال

1- Neomycin phosphotransferase II (npt II)

2- Nopalinsynthase 3' terminator

3- Three Parental Mating



داده شد و جهت تشکیل کلونی روی محیط کشت YEP شامل آنتی بیوتیک های ریفامپیسین (۱۰۰ میکروگرم در هر میلی لیتر) و کانامایسین (۵۰ میلی گرم در لیتر) قرار گرفته و جهت رشد به مدت ۲ روز در ۲۸ درجه سانتی گراد نگهداری شدند. جهت صحت کلونی های تشکیل شده از نظر وجود ژن *BAN*، با استفاده از جفت پرایمرهای:

5'-GGCGACCTGAAGATCTTCAAG-3' : جلو رونده

و 5'-GTCACATGCATTTCTTTCCCG-3' : معکوس، برای تشخیص ژن *BAN*

از روش PCR استفاده شد.

د- جدا سازی DNA ژنومی و تجزیه و تحلیل ساترن بلات: استخراج DNA ژنومی گیاه مطابق روش Chang (Chang و همکاران، ۱۹۹۳) و تجزیه و تحلیل ساترن بلات بر طبق روش Sambrook انجام شد (Sambrook و همکاران، ۱۹۸۹). ۱۰ میکروگرم DNA بعد از هضم توسط آنزیم *Bam*HI روی ژل آگارز ۱ درصد، الکتروفورز و سپس به غشاء نایلونی Hybond N+ (Amersham) منتقل شد. غشاء متوالیا با پروب های نشاندار *BAN* *npt*II هیبرید شد. برای تهیه پروب، با استفاده از روش (کلنی - PCR) (Sambrook و همکاران، ۱۹۸۹) و استفاده از پرایمرهای مخصوص جهت ژنهای *BAN* و *npt*II نسبت به تکثیر قسمتی از ژن ها اقدام شد و پس از جداسازی در ژل آگارز ۱٪ نوارهای ایجاد شده به ترتیب در محل تقریبی ۵۰۰ و ۷۰۰ جفت باز بریده شد و توسط کیت مخصوص (QIAEX II) ساخت شرکت QIAGEN ایتالیا، DNA مربوط به پروب ها استخراج و خالص شدند. تهیه پروب *npt*II با استفاده از الیگنوکلئوتیدهای:

5'-GAGGCTATTTCGGCTATGACTG-3' : جلو رونده و

5'-ATCGGGAGCGGCGATAACCGTA-3' : معکوس، مطابق با ۷۰۰ جفت باز

قطعه PCR حاصل از نوکلئوتیدهای پایین دست محل شروع ترجمه *npt*II انجام شد.

تهیه پروب *BAN* با استفاده از الیگنوکلئوتیدهای -5' :

5'-GGCGACCTGAAGATCTTCAAG-3' : جلو رونده

و '3- GTCACATGCATTTCTTTCCCG-5' : معکوس، مطابق با ۵۰۴ جفت بازقطعه PCR قرار گرفته میان نوکلئوتیدهای ۷۲۶-۲۲۲ از توالی کامل ۱۲۱۳ جفت باز ژن *BAN* انجام شد.

جهت نشان دار نمودن پروبها از کیت [DNA labeling Beads(- Ready-To-Go (dCTP) ساخت شرکت Amersham و  $\alpha$ -<sup>32</sup>P] dCTP استفاده شد.

ه-تجزیه و تحلیل RNA گیاهان تراریخته : تجزیه و تحلیل RT-PCR از سطوح رونویسی ژن *BAN*، ژن *LAR* (یکی از ژن های عمومی در مسیر بیوسنتز پروآنتوسیانیدینها) و ژن خانه دار <sup>1</sup>*EF-1 $\alpha$*  از لاین های انتخابی حامل *CaMV-BAN*، کل RNA عاری از DNA از بافت برگ گیاهان تراریخته و غیر تراریخته (کنترل)، با استفاده از کیت مخصوص (Nucleo Spin RNA plant) محصول شرکت (Macherey-NAGEL) استخراج شد، و با استفاده از آنزیم *Strata Script* نسبت به سنتز اولین رشته cDNA اقدام شد. سپس با استفاده از پرایمرهای:

3'-GGCGACCTGAAGATCTTCAAG-5' : جلو رونده و

3'-GTCACATGCATTTCTTTCCCG-5' : معکوس، برای ژن *BAN* و

پرایمرهای

3'-AATCAGAAAAAGACCTCTCACC-5' : جلو رونده و

3'-AGGGACATTGTACTCTGGATAT-5' : معکوس، برای ژن *LAR* و

پرایمرهای

3'-ATTGTGGTCATTGGCCACGT-5' : جلو رونده و

5'-CCAATCTTGACACATCCTG-3' معکوس، برای ژن خانه دار *EF-1α*، سطوح رونویسی *BAN* و *LAR* و *EF-1α* در گیاهان یونجه تراریخته تعیین شدند. جهت کنترل، نسبت به عدم حضور DNA همراه با RNA، نمونه های RNA هم در حضور و هم در عدم حضور Starta Script تهیه شدند و سپس بر طبق دستورالعمل، ۳۰ ثانیه در دمای ۹۴ درجه سانتیگراد، ۳۵ دور سه مرحله PCR به ترتیب در دماهای ۹۴ درجه سانتیگراد (۱۰ ثانیه)، ۵۰ درجه سانتیگراد (۲۰ ثانیه)، ۷۲ درجه سانتیگراد (۴۵ ثانیه) و در نهایت در دمای ۷۲ درجه سانتیگراد (۷ دقیقه) عمل PCR صورت گرفت. جهت نرمال کردن و تأیید نتایج حاصل از تجزیه و تحلیل RT-PCR از ژن خانه دار *EF-1α* استفاده شد.

و- تعیین سطوح پلوئیدی در گیاهان تراریخته: برگهای ۴ تا ۶ هفته ای حاصل از گیاهان تراریخته رشد یافته در گلخانه، جهت تعیین مقدار DNA هسته به روش فلوسیتومتری با استفاده از دستگاه FACScan تحت بررسی قرار گرفتند (Johnson و همکاران، ۱۹۸۴ و Blondon و همکاران، ۱۹۹۴) و سطوح پلوئیدی آنها استنباط شد، در این راستا از گل اطلسی (*Petunia hybrida* L.) به عنوان استاندارد استفاده شد. است (Marescalchi و همکاران، ۱۹۹۸). همچنین شمارش کروموزومی در گیاهان تراریخته و کنترل برای تعیین سطوح پلوئیدی جهت تأیید نهایی انجام شد.

ز- تجزیه و تحلیل HPLC<sup>۱</sup>: جهت اثبات تغییر مواد فنلی موجود در گیاهان تراریخته از روش HPLC استفاده شد. جهت تجزیه و تحلیل HPLC از دستگاهی با مشخصات (Varian polaris HPLC System) که شامل دو پمپ Prostar 210، یک

1- High performance (pressure) liquid chromatography

آشکارگر UV مدل Prostar 320 و یک Prostar integrator جهت ثبت و تجزیه و تحلیل کروماتوگرافها بود استفاده شد. سنجشها با استفاده از دو ستون: \* 4.6 ODS (250 nm , 10 μm) و (100 nm , 5 μm) \* 4.6 ODS انجام شد. فاز متحرک متانول - آب به نسبت (۳۵ : ۶۵) و شدت جریان ۱/۵-۱ میلی لیتر بر دقیقه انجام شد. میزان تزریق برای استاندارد و نمونهها ۲۰ میکرولیتر بود. طول موج مورد استفاده در HPLC جهت یافتن میزان جذب UV در ترکیبهای مانند (+)-catechin و کوچکتر از آن، پلیمرهای پروآنتوسیانیدین قابل استخراج (به عنوان ملکه دایمرها) برابر ۲۳۰، ۲۵۰، ۲۸۰ نانومتر استفاده شد و برای تشخیص پروآنتوسیانیدین موجود در رسوبهای باقی مانده از طول موج ۵۵۰ نانومتر استفاده شد.

ح- سنجش شیمی بافتی پروآنتوسیانیدینها در گیاهان تراریخته: سلولهای شامل CT، بعد از حذف کلروفیلهای برگ و رنگ آمیزی با DMACA<sup>۱</sup> قابل مشاهده خواهند شد. با استفاده از روش DMACA-HCl، پروآنتوسیانیدینهای قابل حل حتی با مقادیر ناچیز، بهطور کمی از روش اسپکتروفتومتری در طول موج ۶۴۳ نانومتر اندازه گیری شد (Li، ۱۹۹۶). این معرف در واکنش با پروآنتوسیانیدینها تحت شرایط اسیدی باعث ایجاد رنگ آبی می شود.

#### ط- سنجش مقدار فنل و تانن کل و میزان CT در گیاهان تراریخته و کنترل

جهت تعیین مقدار فنولها و تاننها معمولاً از روش Butanol-HCl استفاده می شود. هر چند این روش ساده و مناسب برای حضور CT می باشد، اما خصوصیات شیمیایی تاننها از جمله موقعیت پیوند Interflavan و بروز اکسیداسیون بهطور معنی داری روی میزان رنگ مؤثر است به عنوان ملکه در مواردی که پیوند Interflavan محکم باشد میزان رنگ شدیدتر است. روشهای اندازه گیری تاننها ممکن است بر پایه مشخصات

<sup>۱</sup>4-Dimethylamino cinnamaldehyde-HCL

شیمیایی تانن‌ها یا قابلیت پیوند با سوبستراها باشد. بر این اساس یکی از روشهای اندازه‌گیری شیمیایی تعیین مواد فنلی کل، تعیین تانن کل، تعیین CT می باشد. در این روش نمونه‌های برگ‌گی از گیاهان تراریخته و غیر تراریخته، پس از برداشت بلافاصله در نیتروژن مایع جهت انجماد بافها قرار گرفت. سپس عمل انجماد - خشک بر روی نمونه‌ها انجام شد. جهت استخراج فنل و تانن از حلال استن ۷۰٪ استفاده شد و عمل عصاره‌گیری طبق روش هاگرمن انجام گرفت (Butler و Hagerman, ۱۹۹۴). اندازه‌گیری فنل و تانن کل گیاه و مقدار CT در طول موجهای ۷۲۵ و ۵۵۰ نانومتر انجام شد. مقدار درصد CT در ماده خشک، با قرائت میزان جذب در طول موج ۵۵۰ نانومتر و استفاده از رابطه: (درصد ماده خشک) /  $(A_{550} \times 78.26 \times \text{Dilution factor}) = \text{CT}\%$  محاسبه شد.

## نتایج

میزان درصد کالوسهای پیش جنین‌زا و جنین‌زایی رویشی لاین‌های P1 و Rgsy27 از ریز نمونه‌های برگ‌گی روی محیط کشت  $M_2$  با مقادیر ۴ میلی‌گرم 2,4-D و ۰/۵ میلی‌گرم BAP برای هر آزمایش مورد مطالعه قرار گرفت (حسام زاده و همکاران، ۱۳۸۴). با استفاده از محیط کشت  $M_2$ ، حداکثر بعد از ۱۶ روز تشکیل کالوسهای پیش جنین‌زا آغاز شد. با قرار گرفتن ریز نمونه‌ها بر محیط کشت  $M_2$ ، ۹۰ درصد ریز نمونه‌های حاصل از لاین Rgsy27 و ۳۰ درصد ریز نمونه‌های حاصل از لاین P1 پس از چهار هفته کالوسهای جنینی تشکیل دادند. زمانی که کالوسهای پیش جنین‌زا حاصل از محیط کشت  $M_2$  به محیط کشت  $M_4$  منتقل شدند، همگی کالوس‌های حاصل از لاین‌های P1 و Rgsy27 ایجاد جنین نمودند به استثنای لاین P1 تراریخته شده با آگروباکتریوم EHA 105 که جنینی ایجاد نشد (۵-۲ جنین بسته به نوع آگروباکتریوم

استفاده شده در هر ریزنمونه برای لاین *Rgsy27* و ۲-۰ جنین در هر ریزنمونه برای لاین *P1* و ۶۵ درصد این جنین‌ها به گیاهچه تبدیل شدند. گیاهان تراریخته حاصل از ریزنمونه برگی در مدت ۱/۵ تا ۲ ماه به‌جست آمد و از نظر سطوح پلوئیدی نیز هیچگونه تغییری در آنها مشاهده نشد. تعداد گیاهان تراریخته پایدار حاصل از لاین *Rgsy27* توسط آگروباکتریوم نژاد *LBA 4404* حامل ژن *BAN*، برابر ۱۱۰ عدد و تعداد گیاهان تراریخته توسط آگروباکتریوم نژاد *EHA 105* حامل ژن *BAN* برابر ۱۰ عدد بود. تعداد گیاهان تراریخته پایدار حاصل از لاین *P1* توسط آگروباکتریوم نژاد *LBA 4404* حامل *BAN*، برابر ۷۵ عدد و تعداد گیاهان تراریخته پایدار توسط آگروباکتریوم نژاد *EHA 105* حامل ژن *BAN* برابر صفر عدد بود. تعداد جنین در هر ریز نمونه در لاین *Rgsy27* زمانی که نژاد *LBA 4404* استفاده شد برابر پنج عدد و برای نژاد *EHA 105*، دو عدد بود. تعداد جنین در هر ریز نمونه در لاین *P1* زمانی که نژاد *LBA 4404* استفاده شد، دو عدد و برای نژاد *EHA 105* صفر بود. بنابراین کارایی تراریزش لاین‌های *Rgsy27* و *P1*، به نژادهای مورد استفاده از *Agrobacterium tumefaciens* بستگی دارد. این نتایج نشان می‌دهد که نشانگر انتخابی کانامایسین می‌تواند در هر دو لاین به نحو مؤثری مفید بوده و کارایی تراریزش لاین‌های مختلف بونجه به نژادهای آگروباکتریوم مورد استفاده بستگی دارد، به‌طوری‌که لاین‌های تراریخته *Rgsy27* و *P1* توسط ژن *BAN* با نژاد آگروباکتریوم *LBA 4404* بهترین واکنش را نسبت به تولید گیاهان تراریخته نشان داد (شکل شماره ۲).

حضور ژن *BAN* در ۱۰ گیاه تراریخته همراه با گیاه غیر تراریخته به‌عنوان کنترل با استفاده از تکنیک ساترن بلات، در لاین‌های *Rgsy27* و *P1* (شکل‌های شماره ۶-۳) مورد بررسی قرار گرفت. در هر حالت، یک قطعه داخلی (*Internal fragment*) از *T-DNA* و یک قطعه از کناره‌های *T-DNA* (*Border fragment*) به‌عنوان شناساگر استفاده شدند. اندازه‌های مورد انتظار از قطعات مخصوص هر ساختار در گیاهان تحت

بررسی به درستی تشخیص داده شد، به استثنای مواردی در لاین‌های تراریخته، که فاقد قطعه *BAN* و در مواردی هم که تعداد قطعات *BAN* بیش از یک نسخه مشاهده شد. تعداد *Border* های *T-DNA* تشخیص داده شده در این گیاهان، نشان دهنده تعداد نسخه‌های *T-DNA* منتقل شده به ژنوم گیاهی است که از ۱ تا ۵ نسخه متغیر بود. در گیاهان تراریخته لاین‌های *Rgsy27* و *P1* که حامل ژن *BAN* بودند، قطعات *Border*، هیبرید با پروب *nptII* مطابق با نسخه‌های چندگانه *T-DNA* الحاق شده به ژنوم گیاهی بود. نتایج حاصل از تجزیه و تحلیل *RT-PCR* از سطوح رونویسی ژن *BAN*، ژن *LAR* (ژن عمومی برای مسیرهای بیوسنتز پروآنتوسیانیدین‌ها) و ژن *EF-1α* (ژن خانه دار) از لاین‌های انتخابی حامل *CaMV-BAN*، نشان داد که تظاهر ژن خانه دار *EF-1α* در تمام گیاهان تراریخته و گیاه کنترل بیان می‌شود. نحوه تظاهر ژن *BAN* با مقادیر افزایش یافته و کاهش یافته، *LAR mRNA* در مقایسه با لاین‌های کنترل مطابقت داشت. به بیان دیگر گیاهان تراریخته دارای تظاهر بالای ژن *BAN*، باعث افزایش تظاهر *LAR* نسبت به گیاه کنترل شدند و گیاهان تراریخته دارای تظاهر پایین ژن *BAN*، باعث کاهش تظاهر *LAR* نسبت به گیاه کنترل شدند. مقایسه نتایج ساترن بلات و *RT-PCR* نشان می‌دهد که در مواردی که هیچ و یا بیش از یک باندها برای یک گیاه در ساترن بلات بدست آمده رونویسی ترانس ژن صورت نگرفته است (شکل‌های شماره ۷ و ۸). در گیاهان تراریخته توسط ژن *BAN*، بدون رنگ‌آمیزی با معرف *DMACA*، تغییرات فنوتیپی واضحی قابل مشاهده نبود. تظاهر اکتوپیک ژن *BAN* در شاخ و برگ گیاه تراریخته یونجه باعث القاء تجمع *CT* شد که از طریق بررسی شیمی بافتی قابل تشخیص بود. عدم فعالیت ژن *BAN*، باعث افزایش مقدار رنگدانه قرمزآنتوسیانین شد. بنابراین این ژن به‌عنوان تنظیم کننده منفی در تولید رنگدانه‌ها شناخته شد (شکل شماره ۹).

گیاهان یونجه تتراپلوئید تراریخته توسط ژن *BAN* از نظر میزان پروآنتوسیانیدین محلول و نامحلول و فنل کل و فنل‌های غیر تاننی مورد تجزیه و تحلیل قرار گرفتند

و در نهایت درصد تانن در ماده خشک گیاهان تراریخته و غیر تراریخته محاسبه گردید (جدول شماره ۱). درصد تانن در گیاه تراریخته P1 برابر ۰/۶ و درصد تانن در گیاه تراریخته Rgsy27 برابر ۰/۵ محاسبه شد. در حالی که درصد تانن در گیاه غیر تراریخته P1 برابر ۰/۴ و در گیاه غیر تراریخته Rgsy27 برابر ۰/۲۶ می باشد.

سطح پلوئیدی ۲۰ گیاه تراریخته حاصل از لاین های P1 و Rgsy27 مورد بررسی قرار گرفت. تمام گیاهان تحت بررسی بدون تغیر در سطوح پلوئیدی در حالت تتراپلوئید باقی ماندند و اندازه ژنوم آنها با استفاده از دستگاه FACstar از ۳/۵۷ تا ۳/۶۲ پیکوگرم برای لاین های P1 و Rgsy27 متغیر بود. همچنین بررسی سیتوژنتیکی گیاهان تراریخته نشان داد که تعداد کروموزوم ها نسبت به گیاه ان کنترل تغییری نداشتند. بنابراین بازایی با روش شرح داده شده هیچ نوع تغییری در سطوح پلوئیدی و تعداد کروموزوم های گیاهان بازایی شده بوجود نیاورده است (شکلهای شماره ۱۰ و ۱۱).

نتایج تجزیه و تحلیل HPLC جهت بررسی و مقایسه زمان بازداری پیک (+) catechin و (-)epicatechin نمونه های گیاهان تراریخته با پیک استاندارد در طول موج ۲۸۰ نانومتر نشان داد که زمان بازداری (RT) به ترتیب در زمان ۲۰ دقیقه و ۳۲ دقیقه می باشد. پروفیل حاصل از عصاره برگ لاین های گیاهان تراریخته و غیر تراریخته از نظر وجود ماده کتکین و اپی کتکین در طول موج ۲۸۰ نانومتر، نشان دهنده تفاوت در میزان این مواد در گیاهان می باشد (نمودار شماره ۲).

نمودار HPLC حاصل از عصاره برگ لاین های تراریخته، حضور سیانی دین آزاد شده از پروآنتوسیانیدین استخراج شده توسط هیدرولیز بوتانول- هیدروکلراید را نشان داد. این نمودار با نمودار حاصل از سیانیدین استاندارد و گیاه کنترل در طول موج ۵۲۰ نانومتر مقایسه شد و تغییرات سیانیدین در گیاهان کنترل و تراریخته در زمان ۳۷ دقیقه با پیک ایجاد شده مشخص شد (نمودار شماره ۱).



## بحث

نتایج ذکر شده نشان می‌دهد که محیط‌های کشت M1، M2، M3 و M4 جهت جنین‌زایی در گونه تن‌پلوئید جنس *Medicago* بسیار مناسب است. در تراریزش گیاه یونجه چندین عامل از جمله نژاد آگروباکتریوم، گونه و واریته مورد استفاده و روش تراریزش از اهمیت فوق‌العاده‌ای برخوردار است. تعیین سطوح پلوئیدی گیاهان تراریخته نشان داد که تقریباً همه گیاهان در سطوح پلوئیدی قبل از عمل تراریزش باقی ماندند، بنابراین استفاده از محیط‌های کشت مورد استفاده برای باززایی، نسبت به تغییر سطوح پلوئیدی مؤثر نمی‌باشند و علت این امر احتمالاً نتیجه تیمار هورمونی در زمان بسیار کوتاه می‌باشد.

نژاد باکتری LBA 4404 برای هر دو لاین مورد استفاده، عمل انتقال ژن را بهتر از نژاد دیگر انجام می‌دهد. با این وجود لاین P1 نسبت به لاین Rgsy27 از نظر تراریخت شدن و ایجاد گیاهان تراریخته، زمانی که از نژاد باکتری LBA 4404 استفاده شد برتر بود. تجزیه و تحلیل ساترن بلات نشان داد که لاین‌هایی که حامل دو نسخه یا بیشتر ترانس ژن هستند، نشانه‌ای از آزمایش‌های Co-transformation در یونجه می‌باشند. گیاهان تراریخته‌ای که حامل چندین نسخه از ژن BAN بودند تظاهر ژن BAN آنها کاهش یافته و یا کلاً خاموش شدند. تجزیه و تحلیل RT-PCR نشان داد که در گیاهان تراریخته‌ای که ژن BAN، تظاهر یافته (با یک نسخه) میزان تظاهر ژن LAR افزایش یافته است و تظاهر ضعیف ژن BAN (افزایش تعداد نسخه‌های ژن BAN در گیاهان تراریخته) باعث کاهش در تظاهر ژن LAR شده است. در مسیرهایی که بان‌دی برای ژن BAN حضور ندارد ولی در Borderها وجود دارد نشان‌دهنده این است که قسمتی از T-DNA به ژنوم گیاه منتقل شده است. همچنین باندهای نابجایی که در تعدادی از گیاهان

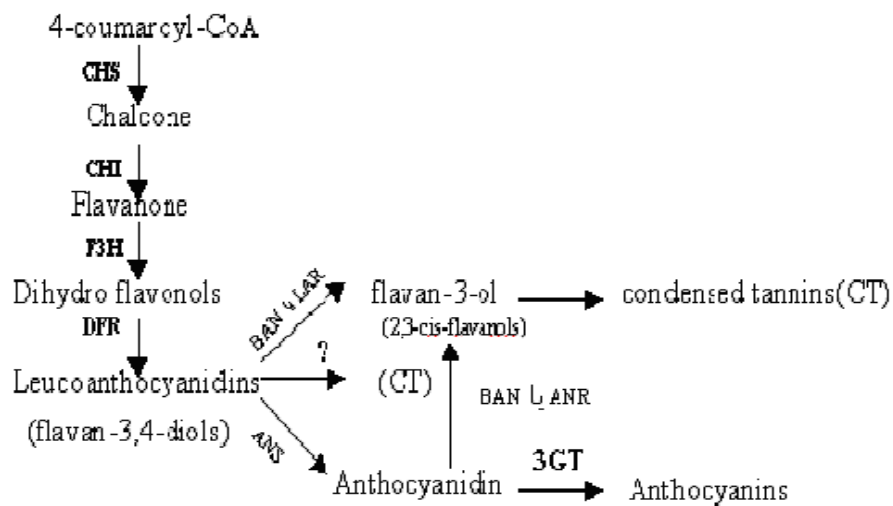
تراریخته ایجاد شده احتمالاً به دلیل برش و کوتاه شدگی یکی از محل های *BamHI* در *T-DNA* می باشد که در اثر برش، تعدادی از نسخه های *T-DNA* در این لاین ها رخ داده است. بعضی از گیاهان تراریخته به طور کلی فاقد بانندی در ساترن بلات بودند ولی قطعه متصل به سمت راست (RB) در این لاین ها تشخیص داده شد که نشان دهنده انتقال حداقل، قسمتی از *T-DNA* در لاین های تراریخته می باشد. در صورتی که ژن *BAN* در گیاه تراریخته تظاهر نماید بر اساس تجزیه و تحلیل HPLC، می توان چنین گفت که در طول موج ۲۸۰ نانومتر، آنزیم های مؤثر در مسیر انتهایی بیوسنتز پروآنتوسیانیدین مانند کتکین و اپی کتکین نسبت به گیاهان کنترل افزایش می یابند. بنابراین نقایح ما برای اولین بار در دنیا نشان داد که نقش ژن *BAN* از گیاه آراییدوپسیس تالیانا در گیاه یونجه تراریخته می تواند به نحو مؤثری بر تظاهر آنتوسیانین ها و پروآنتوسیانیدین ها مؤثر باشد. به بیان دیگر نقش ژن *BAN* در تولید گیاه یونجه ضد نفخ مؤثر است.

#### جدول شماره ۱- سنجش کمی پروآنتوسیانیدین ها در گیاهان تراریخته

لاین	میزان جذب در ۶۴۳ nm به مدت ۲۵ دقیقه	میزان جذب کل (X) در ۵۵۰ nm به مدت ۷۲۵ دقیقه	میزان جذب (Y) در ۵۵۰ nm به مدت ۴۰ دقیقه	X(#TA) $\mu\text{g}$	فنل غیر تاننی (Y) میزان جذب در ۷۲۵ nm به مدت ۴۰ دقیقه.	%X	%Y	%(X-Y)	Y(#TA) $\mu\text{g}$
PI(200mg)	۰/۰۷۲۵	۲/۳۱۴۹	۰/۵۱۷۰	۴/۲۴۸۰۰	۰/۰۲۵۴	۰/۴۷۰	۰/۰۵۲	۰/۴۰۸	۰/۴۶۶۰
Rg(200mg)	۰/۰۷۱۲	۱/۴۹۷۲	۰/۹۶۱۵	۲/۷۱۲۰۰	۰/۰۴۶۵	۰/۳۰۱	۰/۰۴۲	۰/۲۵۹	۰/۸۶۲۰
PI+ BAN	۱/۴۶	۳/۵۳	۰/۲۴۶	۶/۴۹۵۲	۰/۰۶۱۱	۰/۷۲۲	۰/۱۲۱	۰/۶۰۰	۱/۰۹۱
Rg+ BAN	۱/۵۷	۳/۲۸	۰/۲۲۸	۶/۰۱۹	۰/۰۹۸	۰/۶۶۹	۰/۱۹۵	۰/۴۷۴	۱/۷۵۲

%X : درصد مقدار کل فنل در ماده خشک ، %Y : درصد مقدار فنل های غیر تاننی ، %(X-Y) : درصد مقدار

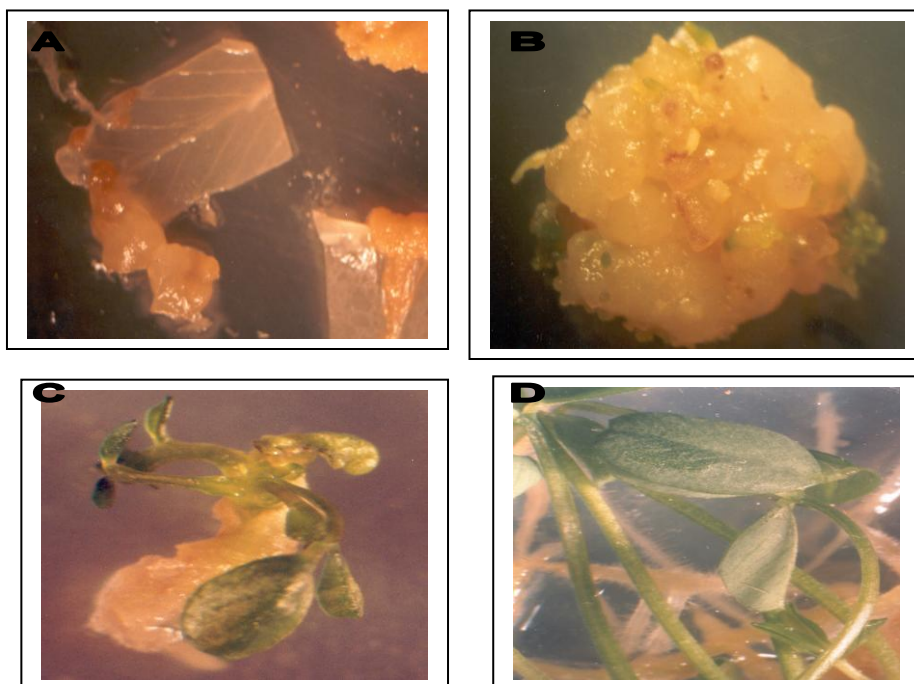
تانن در ماده خشک، TA : اسید تانیک



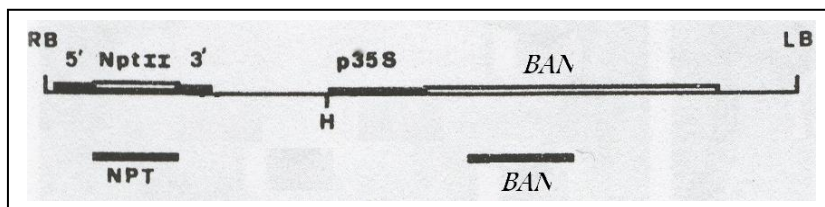
شکل شماره ۱- جایگاه سنتز CT ها در مراحل انتهایی مسیر بیوسنتز فلاونوئیدها و تأثیر

ژن *BAN* بر تولید پروآنتوسیانیدین (Bloor & *etal*, 1998)

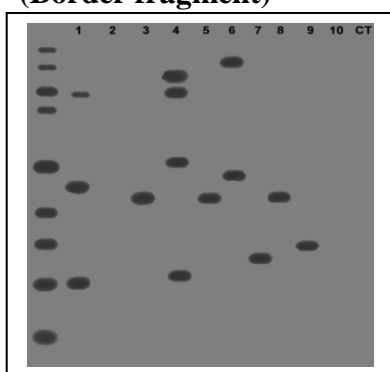
CHS: Chalcone synthase, CHI: Chalcone isomerase, F3H : Flavanone 3-hydroxylase ,  
 DFR: Dihydroflavonol 4-reductase, ANS: Anthocyanidin synthase, 3GT: 3 Glucosyl  
 transferase



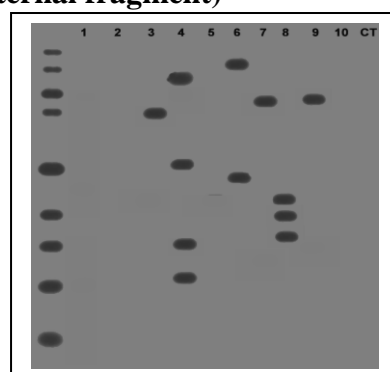
شکل شماره ۲- (A) مراحل اولیه تولید کالوس روی ریز نمونه‌ها (B) تشکیل کالوس پیش جنین‌زا (C) گیاهچه حاصل از ریزنمونه‌های تراریخته (D) گیاه کامل حاصل از ریزنمونه‌های تراریخته



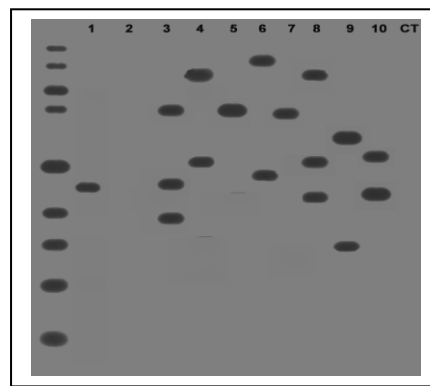
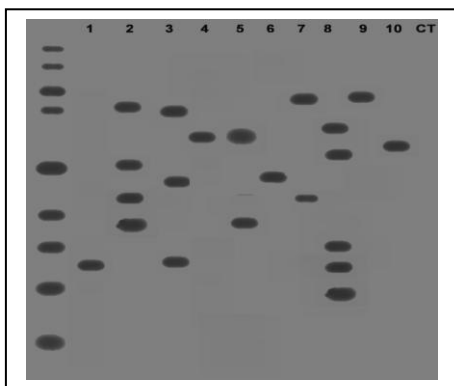
(Border fragment)



(Internal fragment)



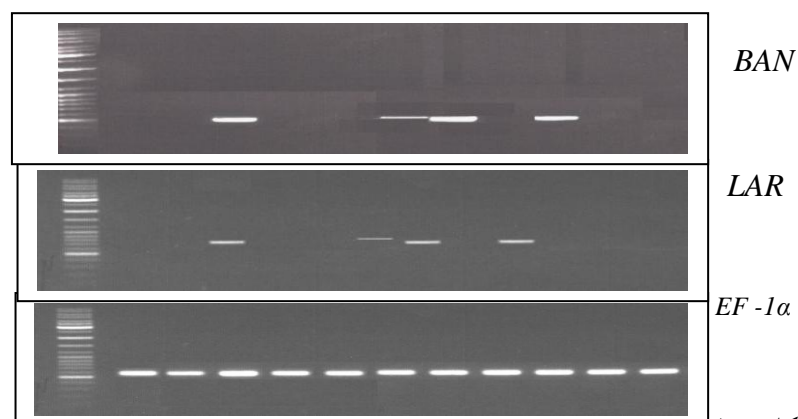
شکل ۱



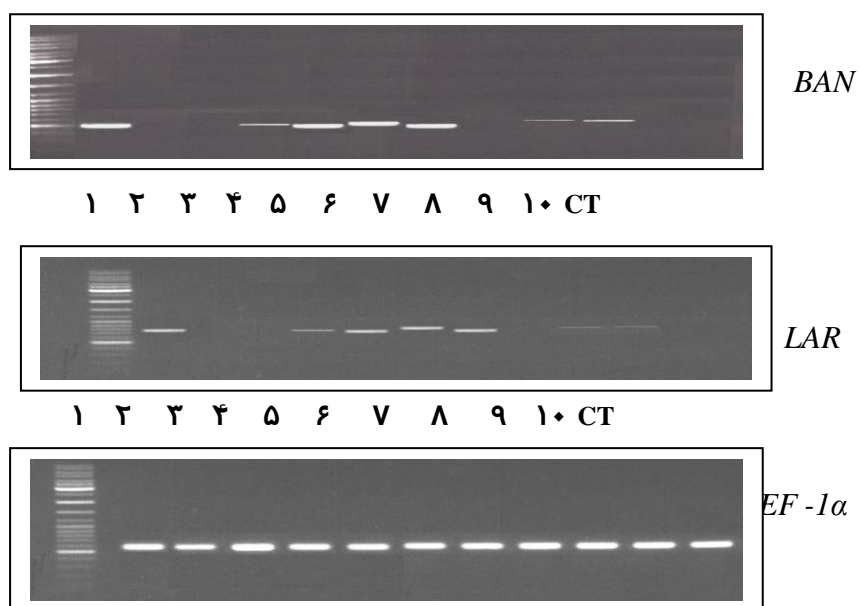
شکل ۵

شکل‌های شماره (۳ - ۶) تجزیه و تحلیل ساترن بلات: (۳) تعداد Bor از T-DNA حا مل ژن BAN در لاین Rgsy27 (۴) تعداد Int از T-DNA حا مل ژن BAN در لاین Rgsy27 (۵) تعداد Bor از T-DNA حا مل ژن BAN در لاین P1 (۶) تعداد Int از T-DNA حا مل ژن BAN در لاین P1. نشان دهنده گیاه کنترل است. CT.

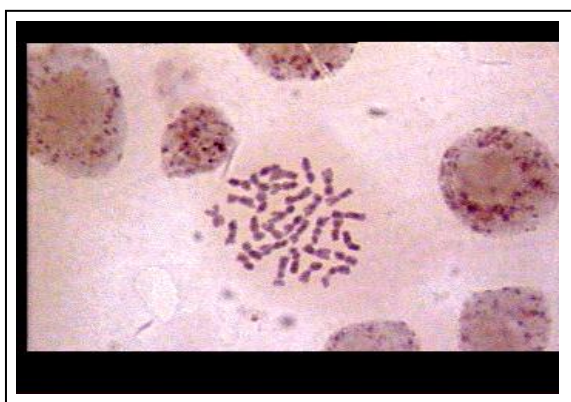
۱ ۲ ۳ ۴ ۵ ۶ ۷ ۸ ۹ ۱۰ CT

شکل شماره ۷- RT-PCR گیاهان انتخاب شده از لاین تراریخته *kgSY27* توسط ژن *BAN*

۱ ۲ ۳ ۴ ۵ ۶ ۷ ۸ ۹ ۱۰ CT

شکل شماره ۸- RT-PCR گیاهان انتخاب شده از لاین تراریخته *P1* توسط ژن *BAN*

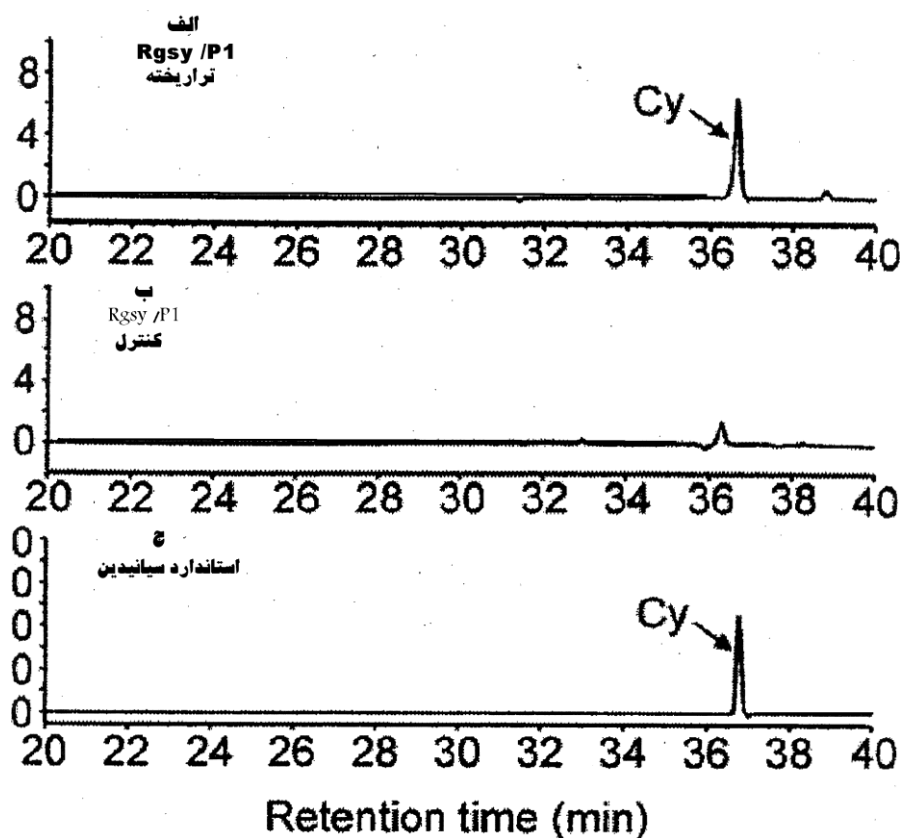
شکل شماره ۹- برگهای یونجه تراریخته و ظهور رنگ آبی پس از تیمار با DMACA



شکل شماره ۱۰- تعداد کروموزومهای لاین Rgsy27 تراریخته با ژن BAN ( $2n=2x=32$ )

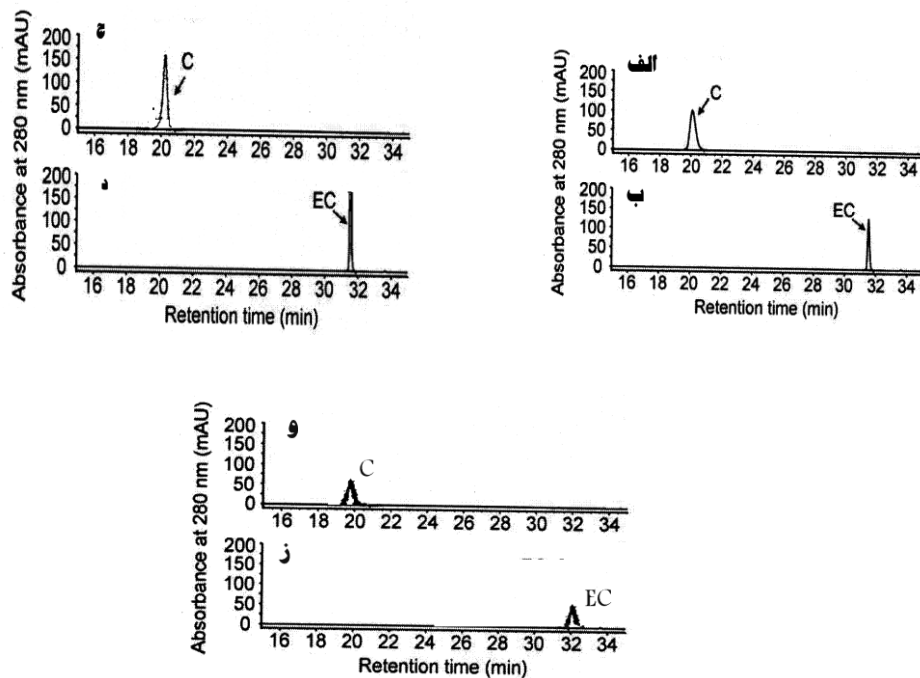


شکل شماره ۱۱- تعداد کروموزومهای لاین P1 تراریخته با ژن BAN ( $2n=2x=32$ )



نمودار شماره (۱- الف) نمودار HPLC حاصل از عصاره بیوک لاین‌های تراریخته، حضور سیانیدین آزاد شده از پروآنتوسیانیدین استخراج شده توسط هیدرولیز بوتانول- هیدروکلراید. (ب) گیاه کنترل (ج) استاندارد سیانیدین





نمودار شماره ۲ - پیک ایجاد شده در ۲۸۰ نانومتر برای الف) کتکین استاندارد ب) اپی کتکین استاندارد ج) افزایش میزان کتکین در یونجه تراریخته با ژن BAN د) افزایش میزان اپی کتکین در یونجه تراریخته با ژن BAN ز) میزان کتکین و اپی کتکین در گیاه کنترل

## منابع

- حسام زاده حجازی، س.م. و همکاران ۱۳۸۴. روش تراریزش سریع با کارایی بالا در بونجه های دیپلوئید و تتراپلوئید برای تظاهر ژن *Sn* و بتا- گلوکورونیداز (*gus*). مجله علوم کشاورزی ایران، جلد ۳۶، شماره ۴.
- Blondon, F., Marie, D., Brown, S., Kondorosi, A., 1994. Genome Size and base Composition in *Medicago sativa* and *M.truncatula* species. *Genome*, 37: 264-270.
- Bloor, S.J, Bradley, J.M, Lewis, D.H, Davies, K.M, 1998. Identification of flavonol and anthocyanin metabolites in leaves of *Petunia* "Mitchell" and its *Lc* transgenic. *Phytochemistry* 49: 1427-1430.
- Bovy, A. R. de Vos, Kemper, M, Schijien, E., Almenar Pertejo, M., Muir, S., Collins, G., Robinson, S., Verhoeven, M., Hughes, S., Santos-Buelga, C., van Tunen, A., 2002. High-Flavonol Tomatoes Resulting from the Heterologous Expression of the Maize Transcription Factor Genes *LC* and *C1*. *The Plant Cell*, 14: 2509-2526.
- Chang, S., Puryear, J., Cairney, J., 1993. A simple and efficient method for isolating RNA from pine trees. *Plant Mol. Biol. Rep.*, 11: 113-116.
- Chu, C.C., Proc. Sym. Plant tissue culture 1978. Science Press, Peking: pages 45-50.
- Dellaporta, S.L., Greenblatt, I.M., Kermicle, J.L., 1988. Molecular cloning of the *R-nj* gene by transposon tagging with *Ac*. In *Chromosome Structure and Function: impact of new concept*, J.P. Gustafson and R. Appels, eds (New York: Plenum Press), pp. 263-282.
- Goodrich, J., Carpenter, R., 1992. A common gene regulates pigmentation pattern in diverse plant species. *Cell* 68, 955-964.
- Gruber, M. y., H. Ray, 2002. Novel regulatory genes involved in condensed tannins synthesis in plants. US. Patent No# 2000022156.
- Hagerman, A.E., Butler, L.G., 1994. Assay of condensed tannins or flavonoid oligomers and related flavonoids in plants. *Meth Enz*, 234: 429-437.
- Hellens, R., Mullineaux, P., Klee, H. 2000 A guide to *Agrobacterium* binary Ti vectors. *Trends in Plant Sci.* 5 : 446-451.
- Hesamzadeh Hejazi, S.M., Abde-Mishani, S., Arcioni, S., Alizadeh, H., Tavakol Afshar, R., Hosseinzadeh, A., 2004. Production of bloat safe alfalfa plants through genetic transformation. Ph.D thesis, University of Tehran, IR.

- Holton, T.A., Edwina, C.C., 1995. Genetics and biochemistry of anthocyanin biosynthesis. *The Plant Cell*, 7: 1071-1083.
- Jende-Strid, J. 1993. Genetic control of flavonoid biosynthesis in barley. *Hereditas*. 119: 187-204.
- Johnson, L.B., Schlarbaum, S.,E., Skinner, D.Z., 1984. Variation in phenotype and chromosome number in alfalfa protoclonal regenerants from nonmutagenized calli, *Crop. Sci.*, 24: 948-952.
- Joseph, R., Tanner, G. and Larkbl, P., 1998. Proanthocyanidin synthesis in the forage legume *Onobrychis viciifolia* -a study of chalcone synthase. Dihydroflavonol 4-reductase and leucoanthocyanidin 4- reductase in developing leaves. *Aust. J. Plant Physiol.* 25: 271-278.
- Kamate, K., Rodriguez- Llorente, I.D., Schotle, M., Durand, P., Ratet, P., Kondorosi, E., Kondorosi, A., Trinh, T.H., 2000. Transformation of floral organs with GFP in *Medicago Truncatula* .*Plant Cell Rep.* 19: 647-653.
- Koornneef, M., Dellaert, L.W.M. and van der Veen, J.H. 1982a. EMS and radiation-induced mutation frequencies at individual loci in *Arabidopsis thaliana* (L.) Heynh. *Mutation Res.* 93:109-123.
- Koornneef, M., Luiten, W., de Vlaming, P. and Schram, A.W. 1982b. A gene controlling flavonoid-3'-hydroxylation in *Arabidopsis*. *Arab. Inf. Serv.* 19:113-115.
- Li, Y.G., Tanner, G.J., Delves, A.C., Larkin, P.J., 1993. Symmetric somatic hybrid plants between *Medicago sativa* L. and *Onobrychis viciifolia* Scop. *Theor. Appl. Genet.* 87: 455-463.
- Li, Y.G. Tanner, G.J., Larkin, P.J., 1996. The DMACA-HCL protocol and the threshold proanthocyanidin content for bloat safety in forage legumes. *J. Sci. Food Agric.* 70: 89-101.
- Ludwig, S.R., Habera, L.F., 1989. *Lc*, a member of the maize *R* gene family responsible for tissue-specific anthocyanin production, encodes a protein similar to transcriptional activators and contains the myc-homology region. *Proc. Natl. Acad. Sci. USA* 86, 7092-7096.
- Marescalchi, O., Seali, V., 1998. Flow-Cytometric analysis of intraspecific genome size variations in *Bacillus atticus* (insecta, Phasmatodea). *Genome*, 41 : 629-635.
- Quattrocchio, F., Wing, J.F., Leppen, H.T.C., Mol, J.N.M., 1993. regulatory genes controlling anthocyanin pigmentation are functionally conserved among plant species and have distinct sets of target genes. *Plant Cell* 5, 1497-1512.

- Rob, J. A., Barry, T.N., McNabb, W.c., 2000. Review paper for polyphenols and agriculture : beneficial effects of proanthocyanidins in forage. *Agri.Ecosystems and Environment*, 75 : 1-12.
- Rumbaugh, M.D., 1985. Breeding bloat-safe cultivars of bloat-causing legumes, in: Barnes, R.F., Ball, P.R., Bringham, R.w., (Eds.) *Forage legumes for Energy-Efficient Animal Production*. USDA, Washington. Proc. Bilateral Workshop, Plamerston North, NZ, April 1984, pp.238-245.
- Sambrook, J., Fritsch, E f., Maniatis, T., 1989. *Molecular cloning : A laboratory manual*- Cold Spring Harbor Laboratory Press, Cold Spring Harbor, NY, ed. 2<sup>nd</sup>.
- Scalbert, A. 1991. Antimicrobial properties of tannins. *Phytochemistry* 30: 3875-3883.
- Schenk, R. U. and Hildebrant, A. C., 1972. Medium and techniques for induction and growth of monocotyledonous and dicotyledonous plant cell cultures. *Can. J. Bot.* 50:199-204.
- Susan Marles, M.A., Ray, H., Gruber, M. Y., 2003. New perspectives on proanthocyanidin biochemistry and molecular regulation *Phytochemistry* 64 :367-383.
- Sylvie, A., Delseny, M., Devic, M., 1997. *BANYULS*, a novel negative regulator of flavonoid biosynthesis in the *Arabidopsis* seed coat. *The Plant J.* 11(2): 289-299.
- Szymanski, D.B., Klis, D.A., Larkin, J.C., Marks, M.D., 1998. A regulator of *Arabidopsis* trichome initiation. *Genetics*. 149: 565-77.
- Tanner, G.J., Joseph, R.G., Li, Y.G., Larkin, P.J., 1997. *Towards bloat safe pastures, Feedmix*, University of Cambridge. UK.
- Tonelli, C., Consonni, G., Dolfini, S.F., 1991. Genetic and molecular analysis of *Sn*, a light-inducible, tissue specific regulatory gene in maize. *Mol.Gen.Genet.* 225: 401-410.
- Trieu, A., T., S.H., Burleigh, I., V., Kardailsky, M.J., Hrrison, 2000. Technical advance : transformation of *Medicago sp.* via infiltration of seedling of flowering plants with agrobacterium. *Plant J.*, 22: 531-541.
- Walker Peach, CR, Velten, J., 1994. Agrobacterium-mediated gene transfer to plant cell: cointegrate and binary vector systems in : Gelvin Sb, Schilperoot RA (eds) *Plants Molecular Biology Manual*. Kluwer, Dordrecht, pp.B1-B19.
- Winkel-Shirley, B., 2001. Flavonoid biosynthesis. A colorful model for genetic , biochemistry, cell biology, and biotechnology. *Plant Physiol.*, 126: 485-493.